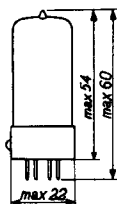
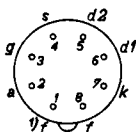
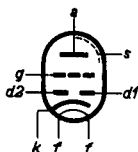


DUODIODE-TRIODE for use as A.F. amplifier
 DUODIODE-TRIODE pour l'utilisation comme amplifica-
 trice B.F.
 DUODIODE-TRIODE zur Verwendung als N.F.Verstärker

Heating: indirect by A.C. or D.C.;
 series supply
 Chauffage: indirect par C.A. ou C.C.; Vf = 14 V
 alimentation en série If = 0,1 A
 Heizung: indirekt durch Wechsel-
 oder Gleichstrom;
 Serienspeisung

Dimensions in mm
 Dimensions en mm
 Abmessungen in mm



Base, culot, Fuss: Rimlock

Capacitances Capacités Kapazitäten	Triode section Partie triode Triodenteil	Diode section Partie diode Diodenteil
	$C_g = 2,7 \text{ pF}$	$C_{d1} = 0,8 \text{ pF}$
	$C_a = 1,7 \text{ pF}$	$C_{d2} = 0,7 \text{ pF}$
	$C_{ag} = 1,5 \text{ pF}$	$C_{d1d2} < 0,3 \text{ pF}$
	$C_{gf} < 0,05 \text{ pF}$	$C_{d1f} < 0,1 \text{ pF}$
		$C_{d2f} < 0,05 \text{ pF}$

Between triode and diode sections
 Entre les parties triode et diode
 Zwischen Trioden- und Diodenteilen

$C_{d1g} < 0,007 \text{ pF}$
 $C_{d2g} < 0,03 \text{ pF}$
 $C_{d1a} < 0,01 \text{ pF}$
 $C_{d2a} < 0,01 \text{ pF}$

¹⁾ Earthed side of the filament circuit
 Côté mise à la terre du circuit de filament
 Geerdete Seite der Glühfadenschaltung

DOUBLE DIODE-TRIODE for use as A.F. amplifier
 DOUBLE DIODE-TRIODE pour utilisation en amplificatrice B.F.
 DOPPELDIODE-TRIODE zur Verwendung als NF-Verstärker

Heating : indirect by A.C. or D.C.
 series supply

Chauffage: indirect par C.A. ou C.C.
 alimentation-série

Heizung : indirekt durch Wechsel-
 oder Gleichstrom
 Serienspeisung

$V_f = 14 \text{ V}$

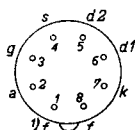
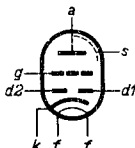
$I_f = 100 \text{ mA}$

Base, culot, Sockel: RIMLOCK

Overall length: 60 mm
 See pages 203 and 252

Hauteur totale: 60 mm
 Voir pages 203 et 252

Gesamthöhe : 60 mm
 Siehe S. 203 und 252



Capacitances
 Capacités
 Kapazitäten

Triode section
 Partie triode
 Triodenteil

Diode section
 Partie diode
 Diodenteil

$C_g = 2,7 \text{ pF}$

$C_{d1} = 0,8 \text{ pF}$

$C_a = 1,7 \text{ pF}$

$C_{d2} = 0,7 \text{ pF}$

$C_{ag} = 1,5 \text{ pF}$

$C_{d1d2} < 0,3 \text{ pF}$

$C_{gf} < 0,05 \text{ pF}$

$C_{d1f} < 0,1 \text{ pF}$

$C_{d2f} < 0,05 \text{ pF}$

Between triode and diode sections
 Entre les parties triode et diode
 Zwischen Trioden- und Diodenteilen

$C_{d1g} < 0,007 \text{ pF}$

$C_{d2g} < 0,03 \text{ pF}$

$C_{d1a} < 0,01 \text{ pF}$

$C_{d2a} < 0,01 \text{ pF}$

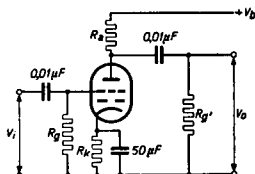
1) Earthed side of the filament circuit
 Côté mise à la terre du circuit de filament
 Geerdete Seite der Glühfadenschaltung

UBC 41*"Miniwatt"*

Typical characteristics of the triode section
 Caractéristiques typiques de la partie triode
 Kenndaten des Triodenteiles

$V_a =$	170	100	V
$V_g =$	-1,55	-1,0	V
$I_a =$	1,5	0,8	mA
$S =$	1,65	1,4	mA/V
$\mu =$	70	70	
$R_i =$	42	50	k Ω

Operating characteristics as L.F. amplifier
 Données caractéristiques comme amplificateur B.F.
 Betriebsdaten als N.F. Verstärker



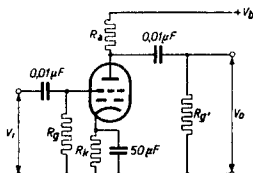
V_b (V)	R_a (M Ω)	R_k (k Ω)	R_g (M Ω)	$R_{g'}$ (M Ω)	I_a (mA)	$\frac{V_o}{V_i}$	d_{tot} (%) at $V_o =$		
							3V _{eff}	5V _{eff}	8V _{eff}
170	0,22	5,6	1	0,68	0,28	44	1,1	1,3	1,85
100	0,22	5,6	1	0,68	0,18	41	1,4	1,9	
170	0,1	3,9	1	0,33	0,45	37	1,1	1,7	2,6
100	0,1	3,9	1	0,33	0,28	34	2,0	3,5	
170	0,22	0	22	0,68	0,46	48	0,95	1,1	1,3
100	0,22	0	22	0,68	0,21	41	1,45	2,0	
170	0,1	0	22	0,33	0,82	42	0,75	1,0	1,2
100	0,1	0	22	0,33	0,35	35	1,6	2,8	

This valve can be used without special precautions against microphonic effect in circuits in which the input voltage $V_i \geq 10$ mV for an output of 50 mW of the output valve

Typical characteristics of the triode section
 Caractéristiques typiques de la partie triode
 Kenndaten des Triodenteiles

$V_a =$	170	100	V
$V_g =$	-1,55	-1,0	V
$I_a =$	1,5	0,8	mA
$S =$	1,65	1,4	mA/V
$\mu =$	70	70	
$R_i =$	42	50	k Ω

Operating characteristics as L.F. amplifier
 Données caractéristiques comme amplificatrice B.F.
 Betriebsdaten als N.F. Verstärker



V_b (V)	R_a (M Ω)	R_k (k Ω)	R_g (M Ω)	$R_{g'}$ (M Ω)	I_a (mA)	$\frac{V_o}{V_i}$	d_{tot} (%) at $V_o =$		
							3V _{eff}	5V _{eff}	8V _{eff}
170	0,22	5,6	1	0,68	0,28	44	1,1	1,3	1,85
100	0,22	5,6	1	0,68	0,18	41	1,4	1,9	
170	0,1	3,9	1	0,33	0,45	37	1,1	1,7	2,6
100	0,1	3,9	1	0,33	0,28	34	2,0	3,5	
170	0,22	0	22	0,68	0,46	48	0,95	1,1	1,3
100	0,22	0	22	0,68	0,21	41	1,45	2,0	
170	0,1	0	22	0,33	0,82	42	0,75	1,0	1,2
100	0,1	0	22	0,33	0,35	35	1,6	2,8	

This valve can be used without special precautions against microphonic effect in circuits in which the input voltage $V_i \geq 10$ mV for an output of 50 mW of the output valve

"Miniwatt" UBC 41

Ce tube peut être utilisé sans précautions spéciales contre l'effet microphonique dans des circuits dont la tension d'entrée $V_i \geq 10$ mV pour une puissance de 50 mW du tube de sortie

Diese Röhre darf ohne spezielle Massnahmen gegen Mikrophonie verwendet werden in Schaltungen die für eine Eingangsspannung $V_i \geq 10$ mV eine Leistung von 50 mW der Endröhre ergeben

Limiting values of the triode section

Caractéristiques limites de la partie triode

Grenzdaten des Triodenteiles

V_{a_0}	= max.	550 V
V_a	= max.	250 V
W_a	= max.	0,5 W
I_k	= max.	5 mA
V_g ($I_g = +0,3 \mu A$)	= max.	-1,3 V
R_g	= max.	3 M Ω ¹⁾
V_{kf}	= max.	150 V
R_{kf}	= max.	20 k Ω

Limiting values of the diode sections

Caractéristiques limites des parties diode

Grenzdaten der Diodenteile

V_d inv _p	= max.	350 V
I_d	= max.	0,8 mA
I_{dp}	= max.	5 mA
V_{kf}	= max.	150 V
R_{kf}	= max.	20 k Ω

¹⁾ If the grid bias is obtained only by connecting a leakage resistor in the grid circuit, the max. value of R_g is 22 M Ω .

Si la polarisation négative est obtenue seulement par moyen d'une résistance de fuite dans le circuit de la grille, la valeur maximum de R_g est de 22 M Ω .

Wenn die negative Gittervorspannung nur von einem Ableitungswiderstand in der Gitterleitung erhalten wird, ist der Maximalwert von R_g 22 M Ω .

Ce tube peut être utilisé sans précautions spéciales contre l'effet microphonique dans des circuits dont la tension d'entrée $V_1 \geq 10$ mV pour une puissance de sortie de 50 mW du tube de sortie

Diese Röhre darf ohne spezielle Massnahmen gegen Mikrophonie verwendet werden in Schaltungen die für eine Eingangsspannung $V_1 \geq 10$ mV eine Ausgangsleistung von 50 mW der Endröhre ergeben

Limiting values of the triode section
 Caractéristiques limites de la partie triode
 Grenzdaten des Triodenteiles

V_{a0}	= max. 550 V
V_a	= max. 250 V
W_a	= max. 0,5 W
I_k	= max. 5 mA
$-V_g$ ($I_g = +0,3 \mu A$)	= max. 1,3 V
R_g	= max. 3 M Ω ¹⁾
V_{kf}	= max. 150 V
R_{kf}	= max. 20 k Ω

Limiting values of the diode sections (each diode)
 Caractéristiques limites des parties diode (par diode)
 Grenzdaten der Diodenteile (pro Diode)

V_d invp	= max. 350 V
I_d	= max. 0,8 mA
I_{dp}	= max. 5 mA
V_{kf}	= max. 150 V
R_{kf}	= max. 20 k Ω

For curves refer to type UBC81
 Pour les courbes voir type UBC81
 Für die Kennlinien siehe Typ UBC81

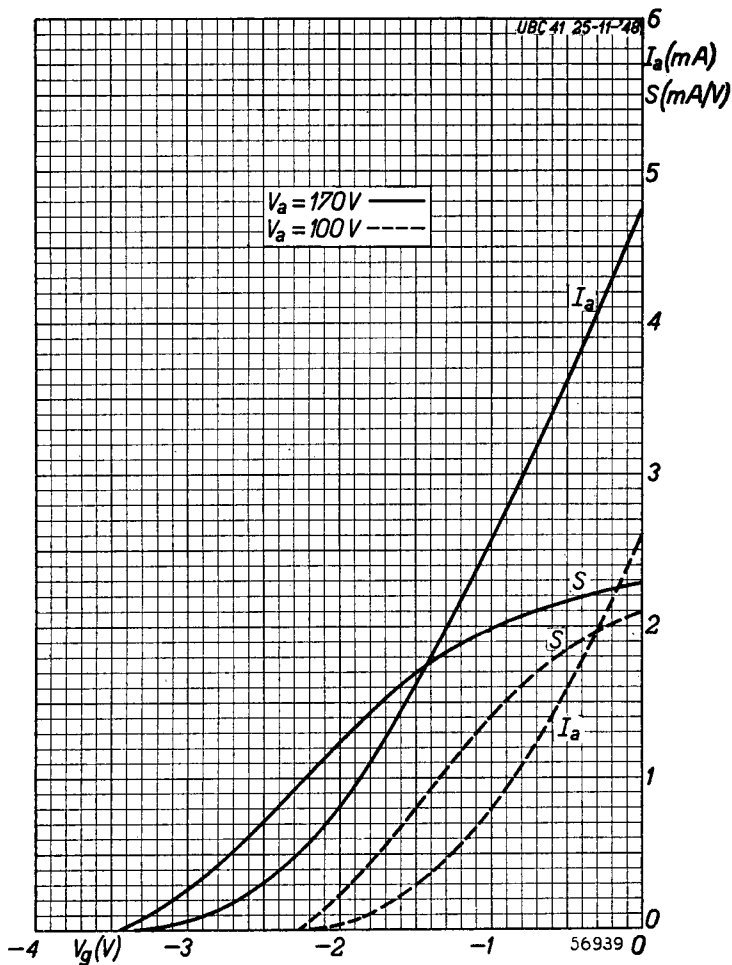
¹⁾ If the grid bias is obtained only by connecting a leakage resistor in the grid circuit, the max. value of R_g is 22 M Ω

Si la polarisation négative est obtenue seulement par moyen d'une résistance de fuite dans le circuit de la grille, la valeur maximum de R_g est de 22 M Ω

Wenn die negative Gittervorspannung nur mittels eines Ableitwiderstandes in der Gitterleitung erhalten wird, ist der Maximalwert von R_g 22 M Ω

"Miniwatt"

UBC 41

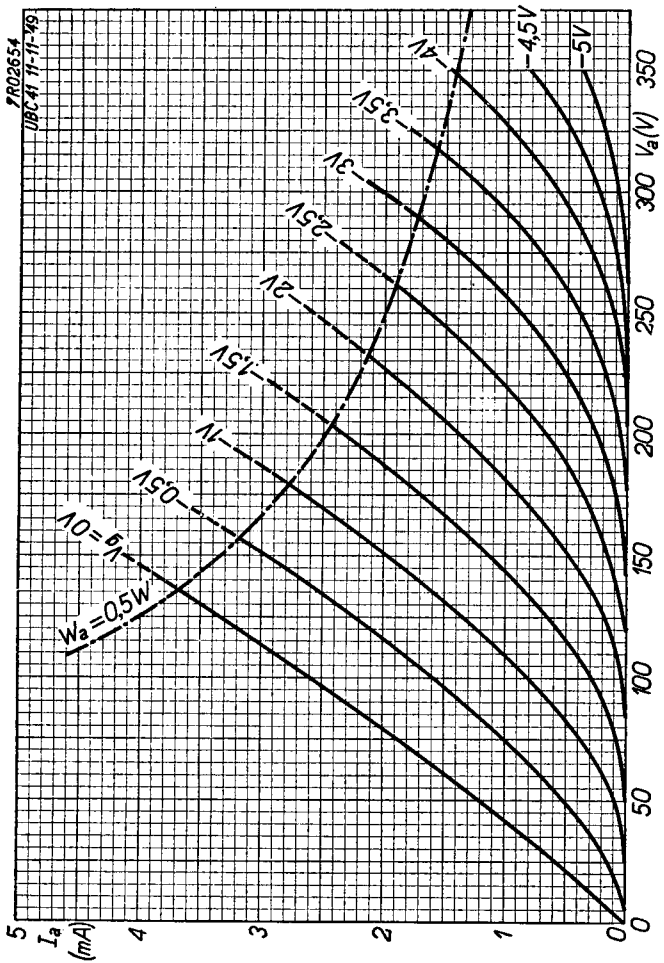


11.11.1949

A

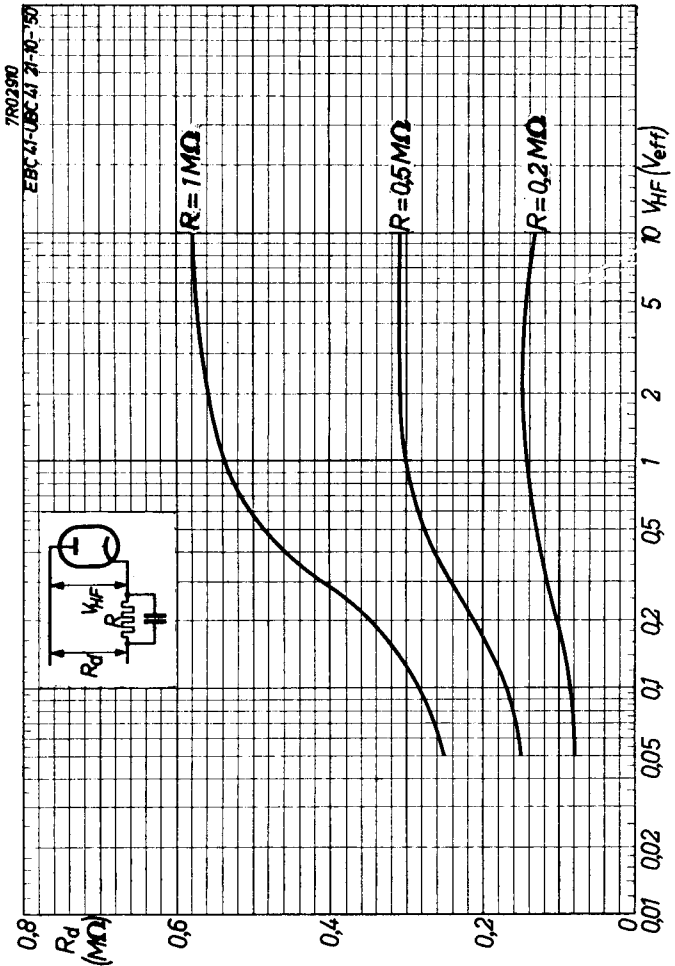
UBC 41

"Miniwatt"



"Miniwatt"

UBC 41



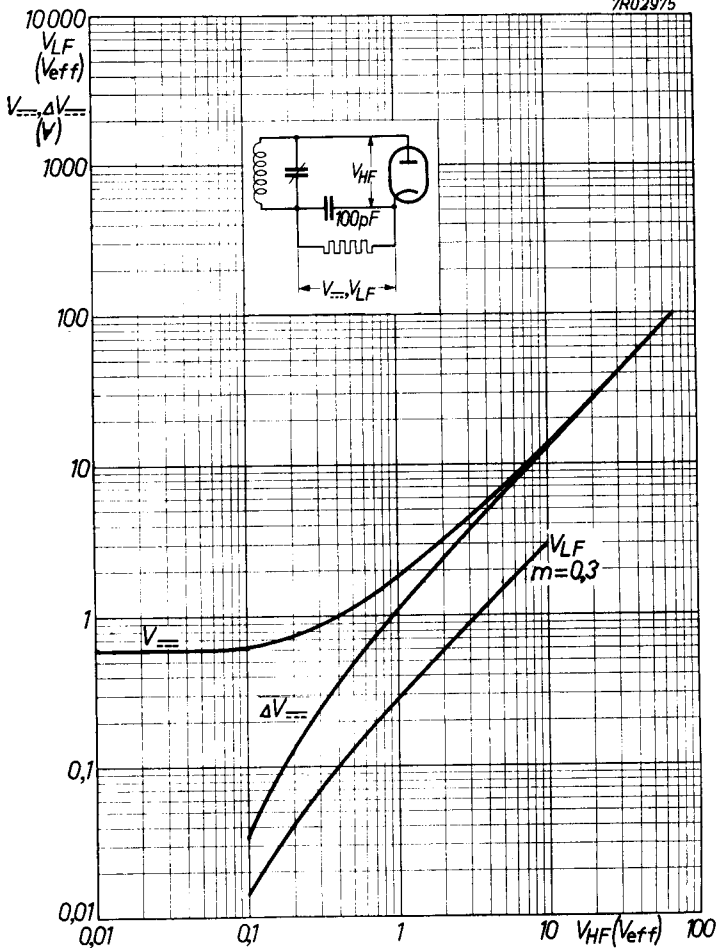
12.12.1950

c

UBC 41

"Miniwatt"

7R02975



PHILIPS

*Electronic
Tube*

HANDBOOK

page	UBC41 sheet	date
1	1	1951.11.11
2	1	1953.12.12
3	2	1951.11.11
4	2	1953.12.12
5	3	1951.11.11
6	3	1958.02.02
7	A	1949.11.11
8	B	1949.11.11
9	C	1950.12.12
10	D	1950.12.12
11	FP	2000.06.11